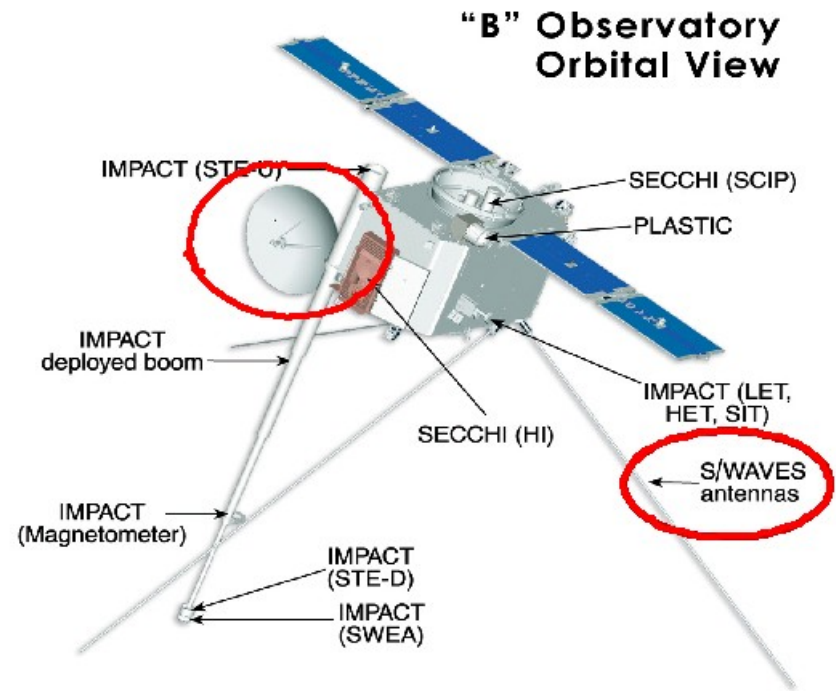


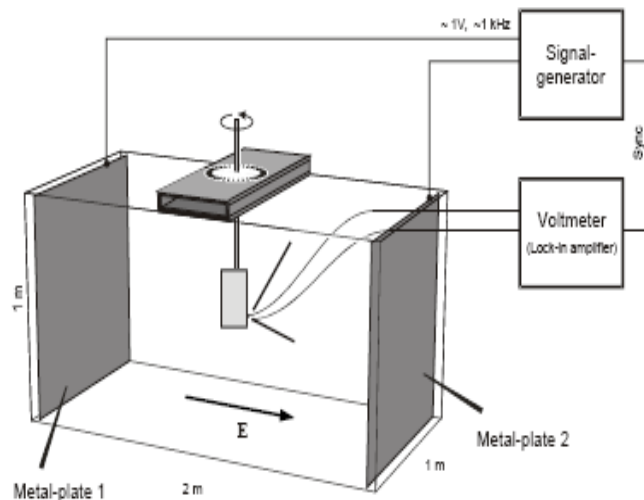
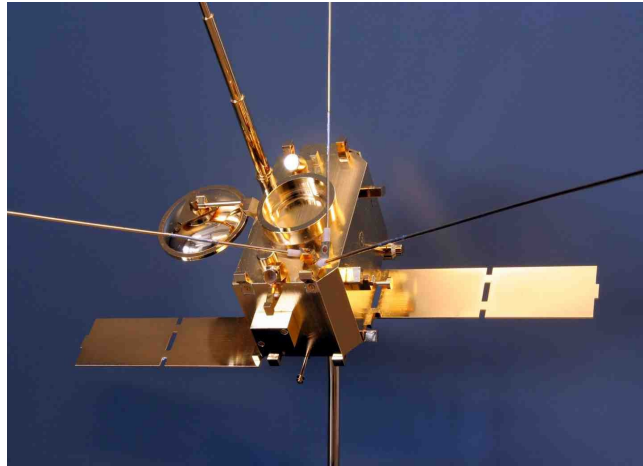
- Einleitung, Kalibrierung von Raumsondenantennen.
- Plasma Sheath.
- Plasma als Dielektrikum.

- Antennen dienen als Schnittstelle zwischen geführter Ausbreitung entlang eines Kabels und freier Ausbreitung im Raum
- Verschiedene Plasma-Wellen können durch Antennen empfangen oder gesendet werden.
- Antennen auf Raumsonden dienen zum Empfang natürlicher Strahlung.
- Die empfangenen Daten geben Rückschlüsse auf physikalische Prozesse.



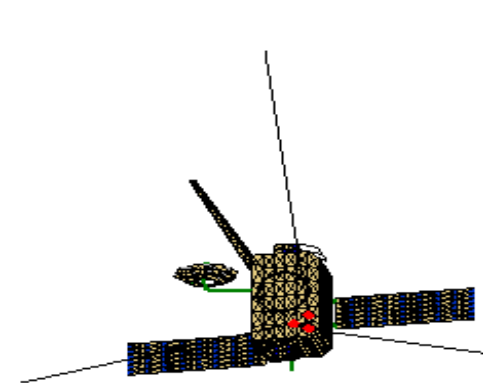
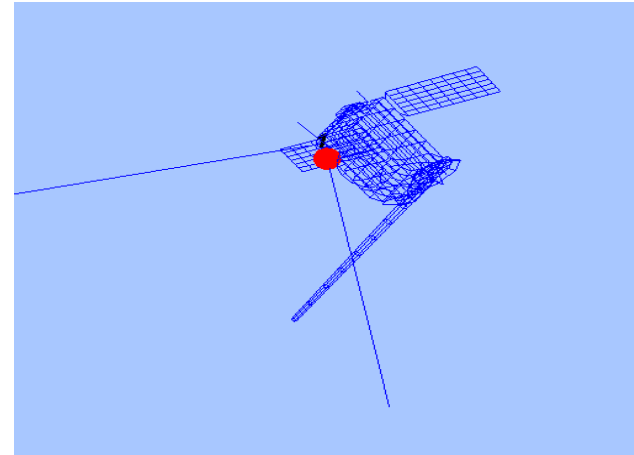
- Um eine korrekte Datenauswertung zu garantieren, müssen die Antenneneigenschaften genau bekannt sein.
- Effektive Längenvektoren, Impedanzen, Admittanzen, Powerpattern
- Numerische und experimentelle Methoden:
 - Wire/Patchgrid modeling
 - Rheometry
 - Anechoic chamber
 - Inflight calibration



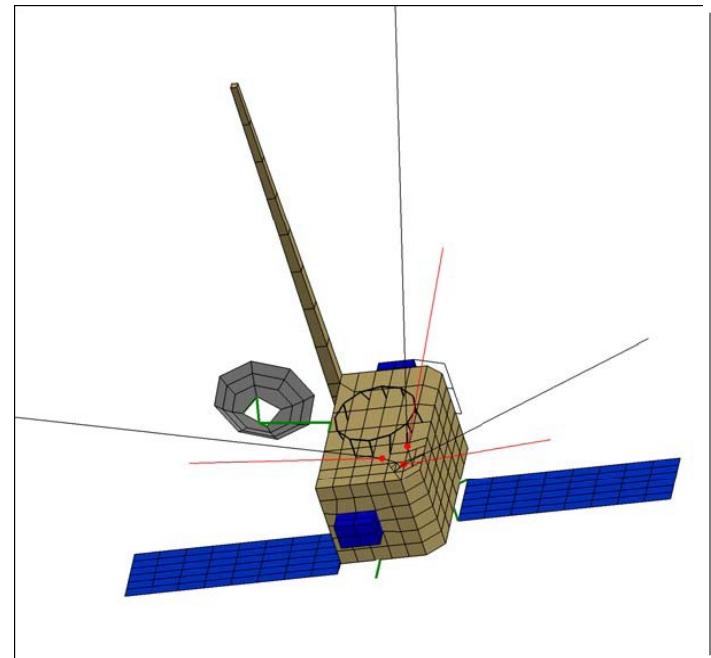


- Ein vergoldetes Modell wird in einem Wassertank versenkt.
- Ein niederfrequentes elektrisches Feld wird über 2 Metallplatten angelegt.
- Die induzierte Spannung an den Antennen wird als Funktion der Orientierung des Modells im Vergleich zum E-Feld gemessen.
- Die effektiven Längenvektoren und Impedanzen können aus den gemessenen Daten ermittelt werden.
- Die Methode kann nur für den quasi-statische Grenzfall eingesetzt werden.

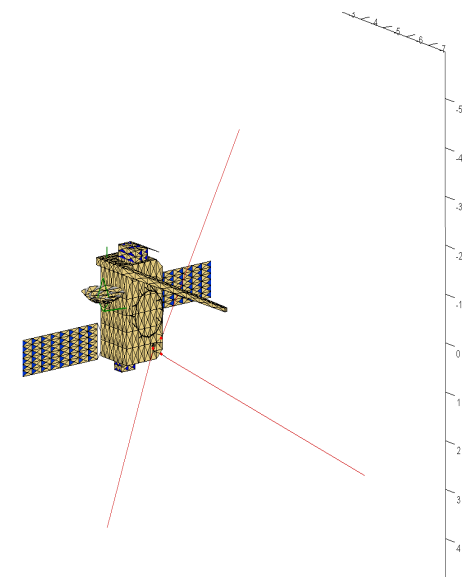
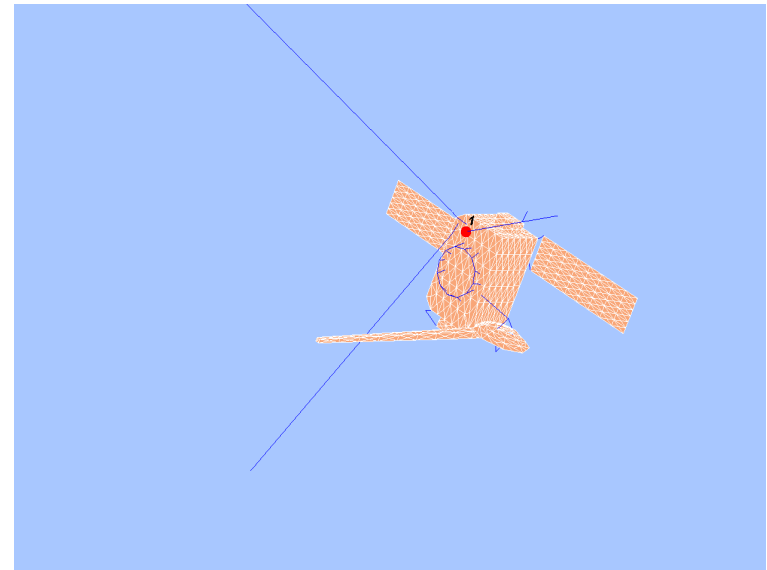
- Die Raumsonde wird aus Drähten (wires) oder Oberflächenelementen (patches) modelliert.
- Die Stromverteilung entlang des Modells wird berechnet.
- Diese Berechnung machen wir mit ASAP (wires) und CONCEPT II (wires and patches) bald auch mit NEC4
- Aus der bekannten Stromverteilung können dann alle anderen Parameter berechnet werden. Dies wird mit unseren Matlab Funktionen bewerkstelligt.



- Die Stromverteilung wird durch die electric field integral equation (EFIE, CONCEPT), oder die reaction integral equation (RIE, ASAP) berechnet.
- Die Antenne wird am feed betrieben.
- Vereinfachungen:
 - ➔ Unendlich dünner Strom entlang des Zentrums der Drähte.
 - ➔ Keine transversalen Ströme.
- Es wird die abstrahlende Antenne berechnet, aber aufgrund der Reziprozität gelten die Ergebnisse auch für die empfangende Antenne.



- Die Stromverteilung wird durch die magnetic field integral equation (MFIE, CONCEPT) berechnet.
- Vorteil: Höhere Genauigkeit, vor allem bei hohen Frequenzen.
- Nachteil: Hohe Rechenzeit.



- Ein Modell der Raumsonde wird durch kohärente elektromagnetische Strahlung beleuchtet.
- Anechoic heißt, dass der Raum mit einer absorbierenden Wand versehen ist.
- Die Induzierte Spannung an den Antennen wird gemessen.
- Vorteil gegenüber Rheometrie: Verschiedene Frequenzen können behandelt werden.
- Eine Anlage steht in Frankreich.

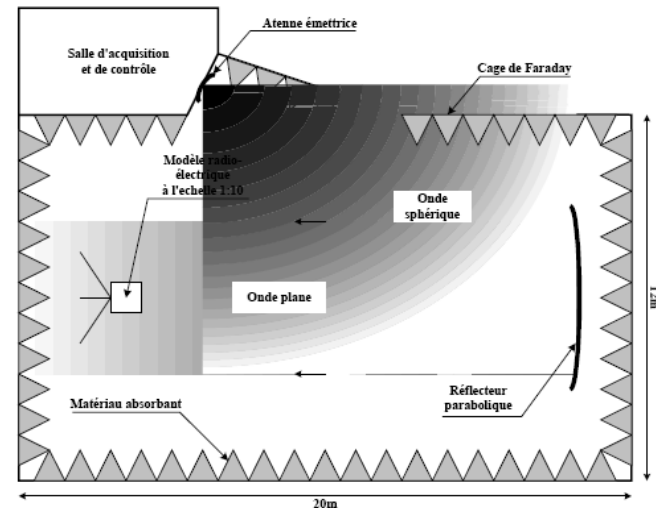
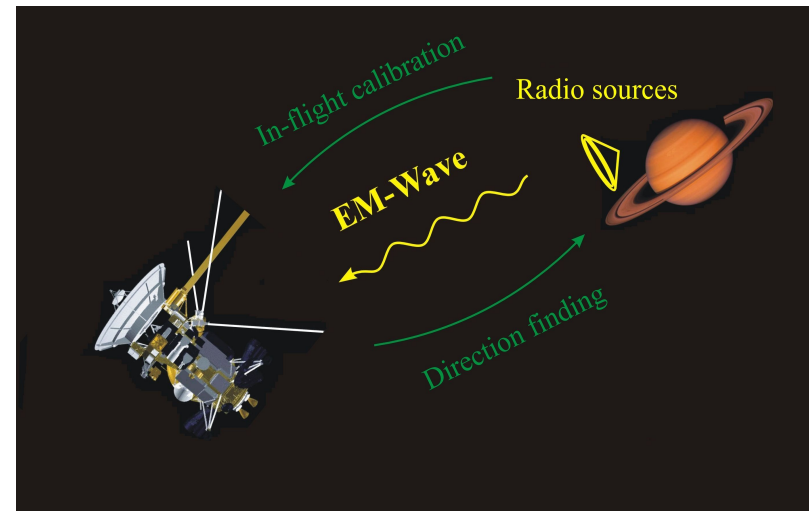


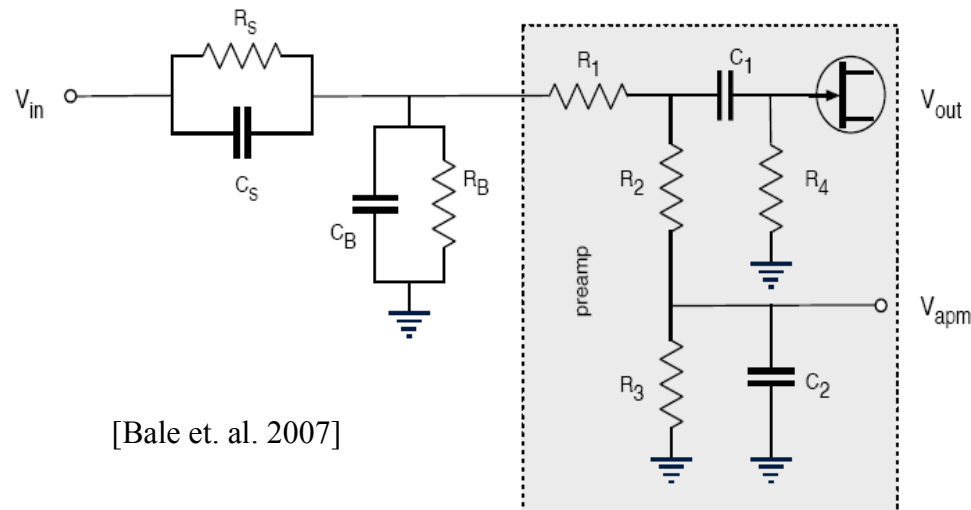
Figure 3.2 : Principe de la BCMA

- Nach dem Start der Sonde kann eine künstliche oder natürliche Radioquelle, deren Intensität und Position bekannt ist, dazu verwendet werden, die echten Antennen zu kalibrieren.
- Idealerweise führt die Sonde dazu ein Rollmanöver durch.



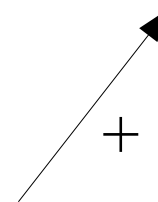
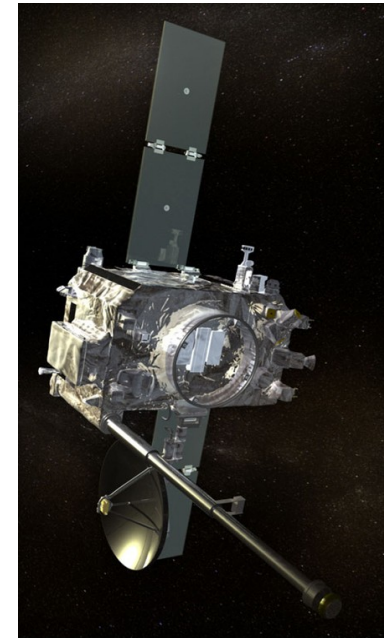
- Einleitung, Kalibrierung von Raumsondenantennen.
- **Plasma Sheath.**
- Plasma als Dielektrikum.

- Oberflächen aus leitendem Material wechselwirken mit umgebendem Plasma.
- Es bildet sich eine Schichte um das Objekt, welche plasma sheath genannt wird.
- Die plasma sheath ist unterschiedlich, je nachdem, ob die Oberfläche positiv oder negativ geladen ist.
- Sie kann als System aus Widerstand und Kapazität modelliert werden.



[Bale et. al. 2007]

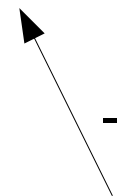
- 2 oder 3 verschiedene Ströme fließen von und zu der Raumsonde.
- In einem dynamische Gleichgewicht müssen sich die Ströme auf Null addieren.
- Abhängig von der Größe des Photoelektronen-Stroms kann die Raumsonde positiv oder negativ geladen sein.
- Verschiedene physikalische Effekte treten auf.



Ion current



Photoelectron current



Electron current

- Keine Sonneneinstrahlung--> Nur Ionen und thermische Elektronen
- Wenn Elektronen und Ionen im thermischen Gleichgewicht sind, ist die Mittlere Geschwindigkeit der Elektronen höher: $\bar{v} = \sqrt{\frac{3kT}{m}}$
- --> mehr Elektronen treffen die Oberfläche pro Zeit.
- --> RS baut negative Ladung auf.
- --> negative Ladung stößt thermische Elektronen ab.
- --> Ionen werden angezogen.
- --> Eine Elektronenarme Schicht formt sich um die RS.
- --> Die Dicke der Schicht und die Potenzial-Verteilung werden sich dergestalt regulieren, dass der Betrag der beiden Ströme gleich gross ist.

- Postulat: thermische Elektronen sind Maxwell verteilt.
- Energieerhaltung: $\frac{1}{2}m_e v^2 - e\phi(x)$
- Teilchendichte: Nulltes Moment.
- Drift Geschwindigkeit: Erstes Moment x Ladung.
- V ist das Potenzial der RS im Vergleich zum Plasma ($V < 0$)

$$I_e = -e\bar{n}_e A \sqrt{\frac{\kappa T_e}{2\pi m_e}} e^{\frac{eV}{\kappa T_e}}$$

$$f_e(x, v) = \frac{\bar{n}_e}{\sqrt{\frac{2\pi\kappa T_e}{m_e}}} e^{-\frac{\varepsilon}{\kappa T_e}}$$

$$\begin{aligned} n_e(x) &= \int_{-\infty}^{\infty} f_e(x, v) dv \\ &= \frac{\bar{n}_e}{\sqrt{\frac{2\pi\kappa T_e}{m_e}}} e^{\frac{e\phi(x)}{\kappa T_e}} \sqrt{\frac{2\pi\kappa T_e}{m_e}} \\ &= \bar{n}_e e^{\frac{e\phi(x)}{\kappa T_e}} \end{aligned}$$

$$\begin{aligned} j_e(x) &= -e \int_0^{\infty} v f_e(x, v) dv \\ &= -e\bar{n}_e \sqrt{\frac{\kappa T_e}{2\pi m_e}} e^{\frac{e\phi(x)}{\kappa T_e}} \end{aligned}$$

- Alle Ionen erreichen die Oberfläche.
- Sie fallen in eine Potenzialsenke.
- --> Beschleunigung
- --> Dichte sinkt wegen Massenerhaltung. $n_i(x) \propto v_i(x)^{-1}$
- Energie erhalten.
- Kombination beider Erhaltungsgesetze ergibt Gleichung für Teilchendichte.
- Daraus kann der Ionenstrom hergeleitet werden.
- Unter Berücksichtigung der Flussdichte kann man die finale Form erhalten.

$$\frac{1}{2}m_i\bar{v}_i^2 = \frac{1}{2}m_i v_i(x)^2 + e\phi(x)$$

$$v_i(x) = \sqrt{\bar{v}_i^2 - \frac{2e\phi(x)}{m_i}}$$

$$n_i(x) = \frac{\bar{n}_i}{\sqrt{1 - \frac{2e\phi(x)}{m_i\bar{v}_i^2}}}$$

$$I_i(x) = e l d \pi n_i(x) v_i(x)$$

$$I_i(x) = e l d \pi \bar{n}_i \bar{v}_i$$

- Photoelektronen werden durch Photonen erzeugt, welche auf der Oberfläche auftreffen. Oft Solarer Ursprung.
- Alle Photoelektronen erreichen die Oberfläche.
- Stromdichte an der Oberfläche i_{ph} hängt von Energieverteilung der Photoelektronen, sowie Material und Geometrie der RS ab.
- A_ϕ ...beleuchtete Querschnittsfläche.
- Geschwindigkeit und Dichte können wie bei Ionen berechnet werden.

$$I_{ph} = i_{ph} A_\phi$$

$$v_{ph}(x) = \sqrt{\bar{v}_{ph}^2 - \frac{2e}{m_e} (V - \phi(x))}$$

$$n_{ph}(x) = \frac{\bar{n}_{ph}}{\sqrt{1 - \frac{2e}{m_e \bar{v}_{ph}^2} (V - \phi(x))}}$$

- Randbedingung des Potenzial
- Um das Potenzial zu berechnen werden die Ströme gleichgesetzt.
- Quasi-Neutralität postuliert.
- Der Einfluss der Ionen ist sehr klein.
- A_{rel} relativer Anteil der beleuchteten Fläche.
- Die Dicke der sheath kann man durch die Debye Länge der Elektronen annähern, oder man kann den Potenzial- und Dichteverlauf durch die Schicht berechnen und so einen genaueren Wert erhalten.

$$\begin{aligned}\phi(0) &= V \\ \phi(\infty) &= 0\end{aligned}$$

$$V = \frac{\kappa T_e}{e} \ln \left[\frac{i_{ph} A_{rel}}{e \bar{n}_e \pi} \sqrt{\frac{2\pi m_e}{\kappa T_e}} \right]$$

$$V = \frac{\kappa T_e}{e} \ln \left[\left(\frac{i_{ph} A_{rel}}{e \bar{n}_e \pi} + \bar{v}_i \right) \sqrt{\frac{2\pi m_e}{\kappa T_e}} \right]$$

- Der sheath Widerstand ist der Gradient der V-I Kurve.
- Expliziter Ausdruck [Gurnett 2000]
- Der Widerstand kann bei hohen Frequenzen ignoriert werden.
- Für die Kapazität verwende ich die allgemeine Formel für zylindrische Kondensatoren

$$R_s = \frac{\partial V}{\partial I}$$

$$R_s = \frac{\kappa T_e}{e(I_{ph} + I_i)}$$

$$C_s = l_a \frac{2\pi\epsilon_0}{\ln\left(\frac{\delta}{r_a}\right)}$$

- Photoelektronen dominieren.
- Die Summe der Ströme muss sich wieder zu Null addieren.
- --> Der Körper lädt sich positiv auf. Die Anzahl der Photoelektronen welche das Plasma erreichen ist gleich der Anzahl der thermischen Elektronen welche die Oberfläche erreichen.
- Die meisten Photoelektronen haben nicht genug Energie um die sheath zu durchqueren und fallen zur Oberfläche zurück.
- Diese Elektronen formen die Elektronenschicht.
- Sie tragen aber nicht zum Photoelektronen-Strom bei.

- Alle thermischen Elektronen erreichen die Oberfläche --> kein Boltzmann.
- Nur Photoelektronen mit genug Energie erreichen das Plasma.
- Photoelektronen annähernd Maxwell-Verteilt [Grard et. al].
- Photoelektronen-Rückfluss:
- Photoelektronenstrom == thermischer Elektronenstrom.
- --> Gesamtelektronenstrom der die Oberfläche erreicht :

$$I_e = -en_e dl \pi \sqrt{\frac{\kappa T_e}{2\pi m_e}}$$

$$I_{ph} = A_{rel} i_{ph} l d e^{-\frac{eV}{\kappa T_{ph}}}$$

$$I_{ph,back} = A_{rel} i_{ph} l d (1 - e^{-\frac{eV}{\kappa T_{ph}}})$$

$$I_{back} = I_{ph,back} + I_e \sim A_{rel} i_{ph} l d$$

- Potenzial der Raumsonde kann durch Gleichsetzen der Ströme hergeleitet werden.

$$V = -\frac{\kappa T_{ph}}{e} \ln \left[\frac{en_e \pi}{A_{rel} i_{ph}} \sqrt{\frac{\kappa T_e}{2\pi m_e}} \right]$$

- Formeln für positiv geladene RS.
- ϵ_r ist der relative dielektrische Tensor.
- Dieser ändert sich kontinuierlich entlang des sheath.
- Als erste Annäherung kann man den Mittelwert nehmen.

$$R_s = \frac{\partial V}{\partial I}$$

$$R_s = -\frac{\kappa T_{ph}}{e I_{ph}}$$

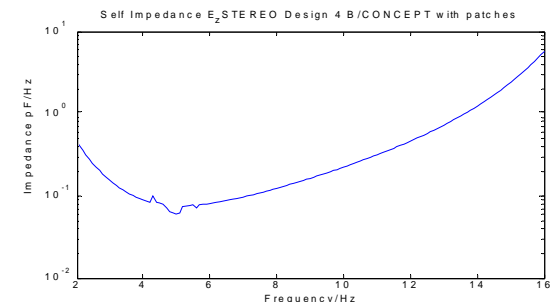
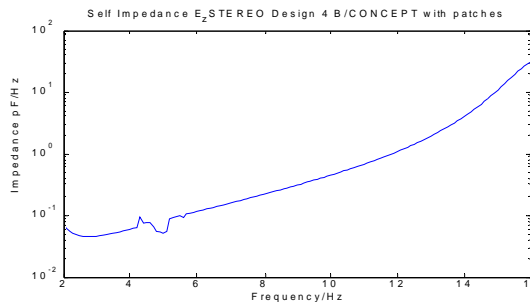
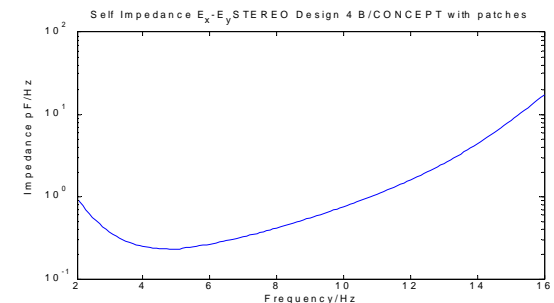
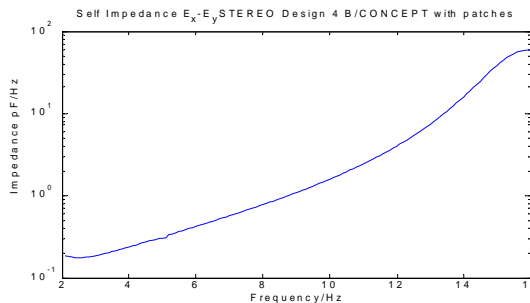
$$C_s = l_a \frac{2\pi\epsilon_0\bar{\epsilon}_r}{\ln\left(\frac{\delta}{r_a}\right)}$$

- Wendet man die Theorie bei STEREO an, erhält man folgende Werte:
- Vergleich des Realteils der Impedanz :

$$V \sim 5.5V \quad \lambda_{sh} \sim 0.4m$$

$$R_s = 0.2M\Omega \quad \text{oder}$$

$$C_s = 87pF \quad \lambda_{ph} \sim 0.6m$$



- Einleitung, Kalibrierung von Raumsondenantennen.
- Plasma Sheath.
- Plasma als Dielektrikum.

- Das Verhalten der Antennen wird auch direkt vom umgebenden Plasma beeinflusst.
- Der Einfluss ist nahe der Plasmaresonanzfrequenzen am grössten, aber auch in höheren Frequenzbereichen nicht vernachlässigbar.
- Als dielektrisches Modell kann der Plasmaeinfluss leicht in die numerische Kalibrierung aufgenommen werden.

- Der Plasmaeinfluss wird komplett durch den Green's Tensor, dessen Form vom Modell abhängt, beschrieben.

$$\mathbf{E}(\mathbf{r}, \omega) = \int_{V'} \mathbf{G}(\mathbf{r}, \mathbf{r}') \mathbf{j}_{ant}(\mathbf{r}', \omega) dV'$$

- Die allgemeine Form ist

$$\mathbf{G}(\mathbf{r}, \mathbf{r}') = \frac{\mu_0 \omega}{(2\pi)^3} \int_{-\infty}^{\infty} \lambda^{-1} e^{i(\mathbf{k} \cdot (\mathbf{r} - \mathbf{r}'))} d\mathbf{k}$$

$$\lambda = -(\mathbf{k} \mathbf{k} - k^2 \mathbf{I} + k_0^2 \epsilon_r)$$

- Der resultierende Tensor kann direkt in die EFIE übernommen werden.

- Kaltes isotropes Plasma:

$$\mathbf{G}(\mathbf{r}, \mathbf{r}') = -(\nabla \nabla + k_0^2 \epsilon_r \mathbf{I}) g(\mathbf{r} - \mathbf{r}')$$

$$g(\mathbf{r} - \mathbf{r}') = -\frac{\epsilon_r^{-1}}{4\pi i \omega \epsilon_0} \frac{e^{-ik|\mathbf{r} - \mathbf{r}'|}}{|\mathbf{r} - \mathbf{r}'|}$$

- Kaltes anisotropes Plasma:

$$\mathbf{G}(\mathbf{r}, \mathbf{r}') = \frac{\mu_0 i \omega}{(2\pi)^3} \int_{-\infty}^{\infty} \lambda^{-1} e^{i(\mathbf{k} \cdot (\mathbf{r} - \mathbf{r}'))} d\mathbf{k}$$

$$\lambda = \begin{pmatrix} 1 + n^2 \cos^2 \theta - \frac{\omega_p^2}{\omega^2 - \Omega^2} & i \frac{\omega_p^2 \Omega}{\omega(\omega^2 - \Omega^2)} & -n^2 \sin \theta \cos \theta \\ -i \frac{\omega_p^2 \Omega}{\omega(\omega^2 - \Omega^2)} & 1 + n^2 - \frac{\omega_p^2}{\omega^2 - \Omega^2} & 0 \\ -n^2 \sin \theta \cos \theta & 0 & 1 + n^2 \sin^2 \theta - \frac{\omega_p^2}{\omega^2} \end{pmatrix} \quad (3)$$

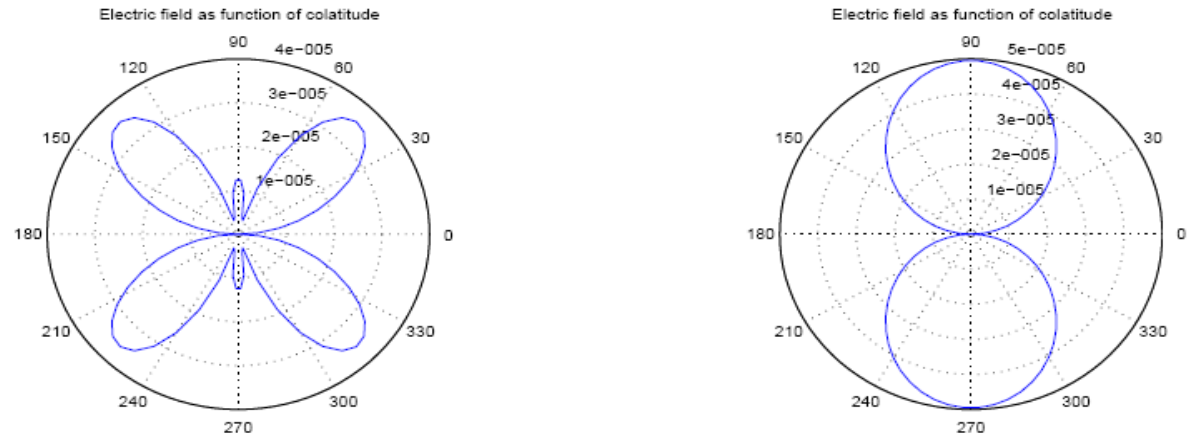


Fig. 5.20: Electric field strength at 10000m distance in vacuum and in plasma at $\frac{3}{2}\lambda$ resonance condition

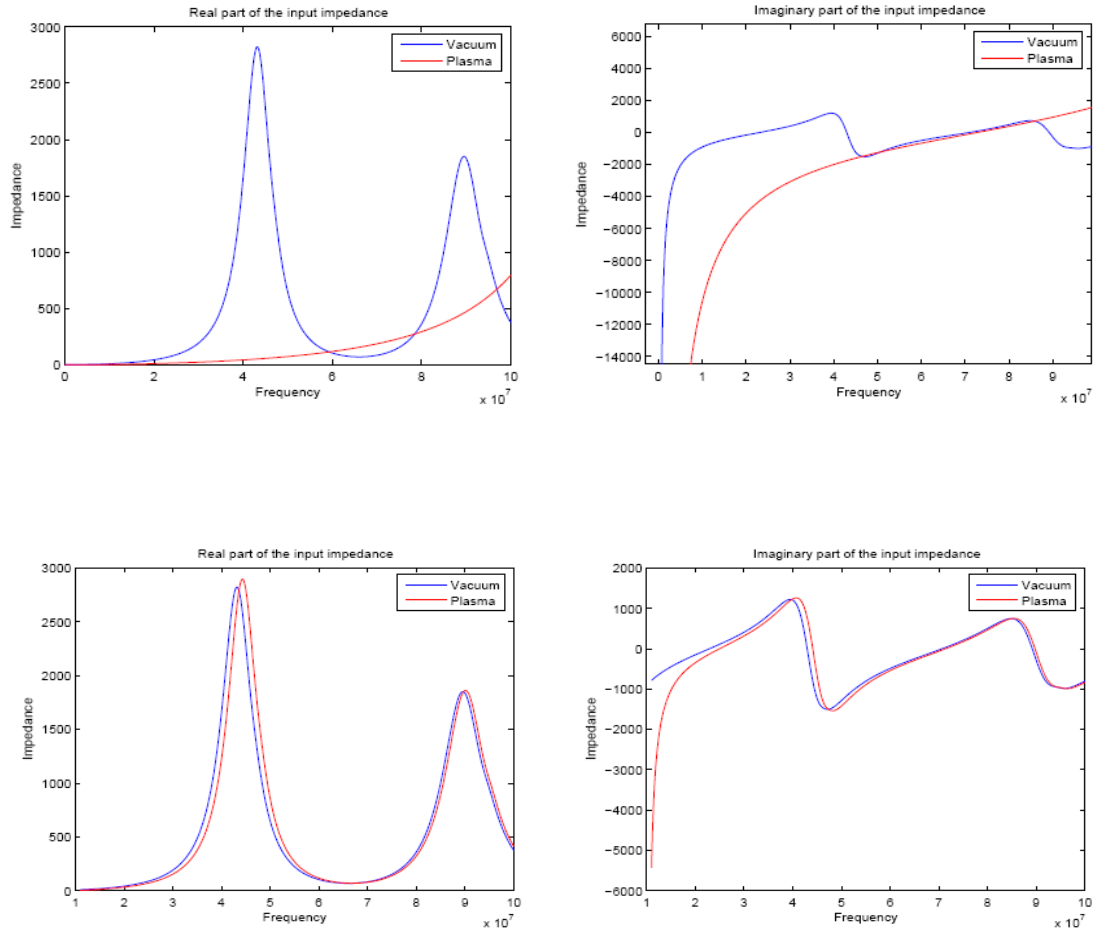


Fig. 5.19: Impedance curves of the dipole with and without plasma. $\omega_{pe} = 10MHz$

STEREO

Tab. 6.1: Effective length vectors in vacuum: $f = 300kHz$

	$length/m$	$\zeta/^\circ$	$\xi/^\circ$
E_x	1.34	119.8	-135.3
E_y	1.64	114.3	127.3
E_z	1.09	124.6	15.5

Tab. 6.2: Effective length vectors in cold plasma: $f=300kHz$, $f_{pe} = 100kHz$

	$length/m$	$\zeta/^\circ$	$\xi/^\circ$
E_x	1.26	119.5	-135.0
E_y	1.53	114.1	127.2
E_z	1.02	124.2	15.2

Vielen Dank für Ihre
Aufmerksamkeit !